



*Региональный обучающий семинар Центров профессионального мастерства МСЭ в режиме видеоконференции “Технологические, организационные и регуляторные основы построения телекоммуникационных сетей современных и последующих поколений”,
Одесса, Украина, 4 сентября 2014 г.*



КВАНТОВЫЕ МЕТОДЫ ЗАЩИТЫ ИНФОРМАЦИИ В ТЕЛЕКОММУНИКАЦИОННЫХ СЕТЯХ

Евгений Василиу

доктор технических наук, профессор, и.о. директора
Учебно-научного института Радио, телевидения и
информационной безопасности ОНАС им. А.С. Попова

Квантовая криптография

Квантовая криптография – решение задач криптографической защиты информации с использованием квантовых свойств отдельных фотонов (носителей информации в квантовой криптографии)

КВАНТОВЫЕ ТЕХНОЛОГИИ ЗАЩИТЫ ИНФОРМАЦИИ

Квантовое
распределение
ключей

Квантовая
прямая
безопасная связь

Квантовое
разделение
секрета

Квантовый
поточный шифр

Квантовая
цифровая подпись

Квантовая
стеганография

Современные методы распределения секретных ключей

1

- Применение методов асимметричной криптографии (RSA, Диффи-Хеллмана, схема цифрового конверта, комбинированные методы и т.п.) – базируется на гипотезе $P \neq NP$

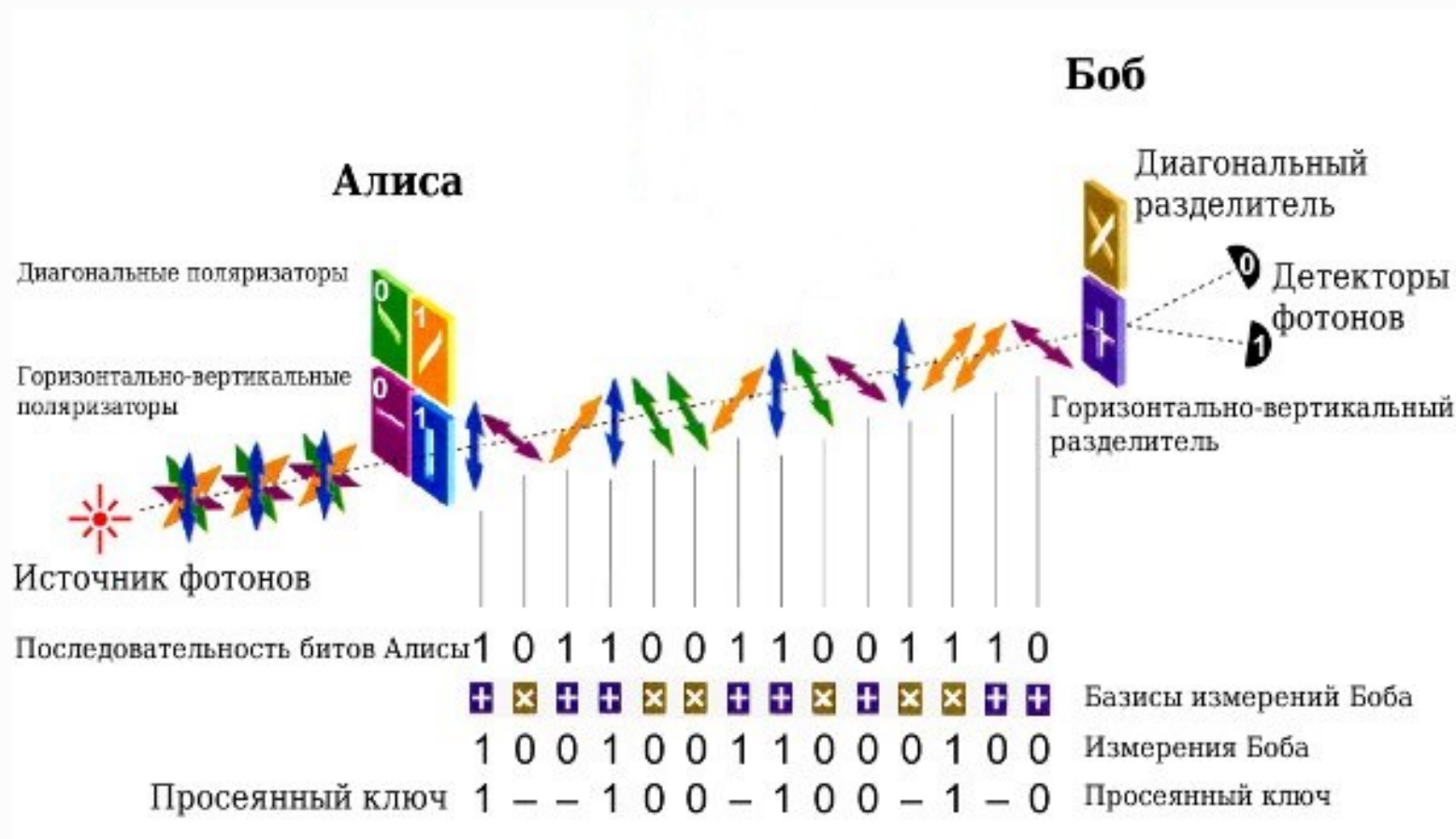
2

- Использование доверенных курьеров – высокая стоимость, зависимость от человеческого фактора

3

- Квантовое распределение ключей – теоретико-информационная стойкость, которая не зависит от вычислительных или других возможностей злоумышленника

Схема протокола Беннетта – Brassarda (протокол BB84)



Система квантового распределения ключей

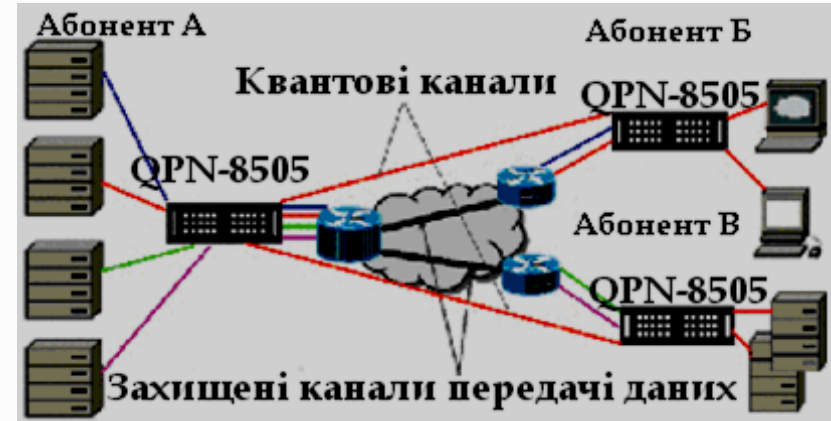
QPN Security Gateway (QPN-8505)

(MagiQ Technologies, США)

MagiQ



Система QPN-8505



Вариант организации сети на базе QPN-8505

- Криптографическое решение, ориентированное на правительственные и финансовые организации;
- Защита VPN с помощью квантового распределения ключей (до ста 256-битных ключей в секунду на расстояние до 140 км) и интегрированного шифрования;
- Используются такие протоколы: квантовый BB84, классические 3DES (112 бит) и AES (256 бит);
- Стоимость минимальной конфигурации € 80 тыс.

Системы квантового распределения ключей

Clavis² та Cerberis (ID Quantique, Швейцария)



Криптосистема Clavis²

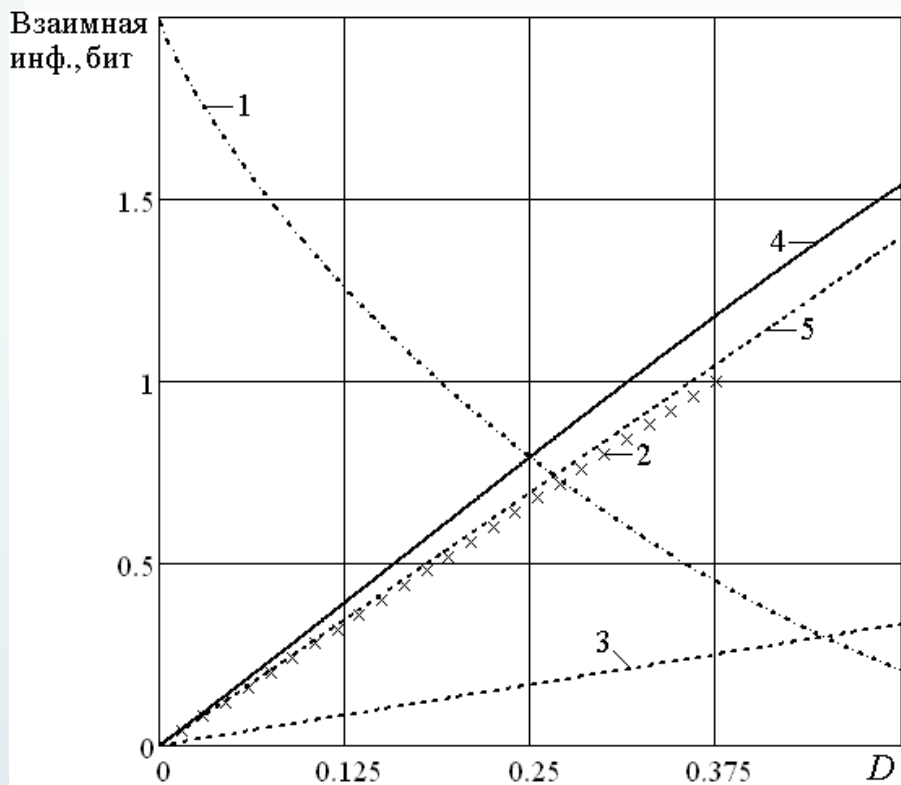
- Автокомпенсирующая оптическая платформа обеспечивает стабильность и низкий уровень квантовых ошибок;
- Защищенное распределение ключей шифрования между двумя абонентами на расстояние до 100 км;
- Рыночная стоимость системы около € 90 тыс.



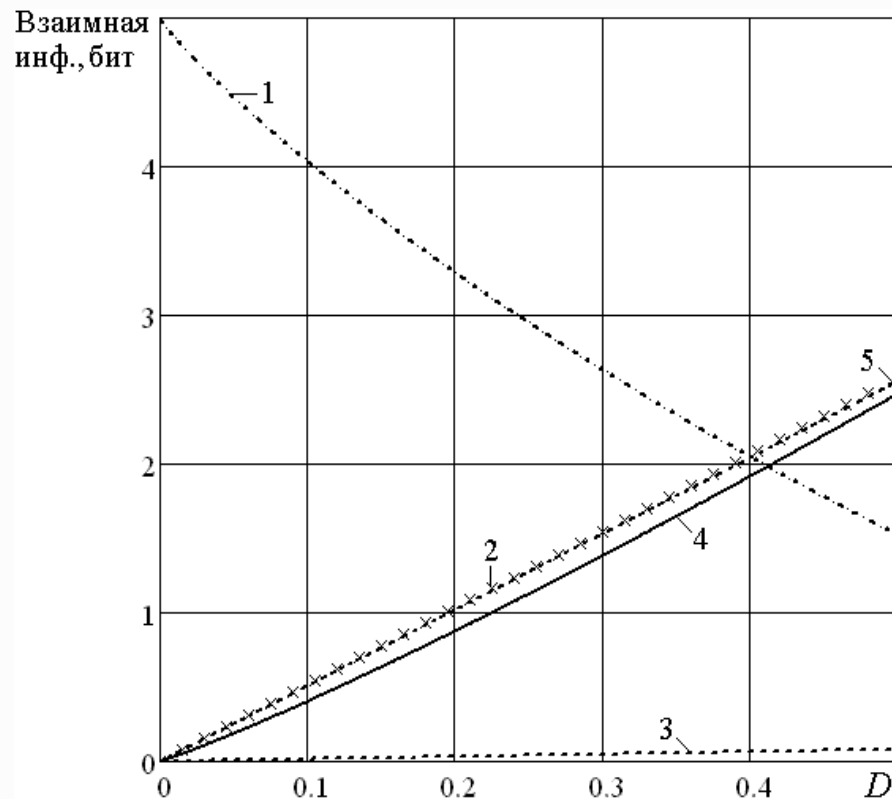
Криптосистема Cerberis

- Сервер с автоматическим созданием и секретным обменом ключами по оптоволоконному каналу до 50 км;
- 12 параллельных криптовычислений;
- Шифрование протоколом AES (256 бит), а для КРК - протоколы BB84 и SARG;
- Ориентировочная стоимость такой системы на рынке € 70 тыс.

Комплексный анализ стойкости к некогерентным атакам и информационной емкости квантовых протоколов распределения ключей с многомерными квантовыми системами (кудитами)



а



б

Взаимная информация для IR-атаки и некогерентной полупрозрачной атаки: а) $n = 4$; б) $n = 32$. 1 – $I_{AB}(D)$ (1); 2 – $I_{AE-IR}^{(2)}(D)$ (2); 3 – $I_{AE-IR}^{(n+1)}(D)$ (3); 4 – $I_{AE}^{(2)}(D)$ (6); 5 – $I_{AE}^{(n+1)}(D)$ (4).

Стойкость протоколов с кудитами по критерию Цизара – Кёрнера

$$I_{AB}(D_{\max}) = I_{AE}(D_{\max})$$

Значения D_{\max} для некогерентных атак:

| Протоколы с одиночными кудитами | | | | | Протоколы с парами перепутанных кудитов | |
|---------------------------------|---------------------|--------------------|-------------------------------|------------------------------|---|-------------------------------|
| 1 | 2 | 3 | 4 | 5 | 6 | 7 |
| n | D_{\max} | | | | | |
| | n+1 базис, IR-атака | 2 базиса, IR-атака | n+1 базис, полупрозрач. атака | 2 базиса, полупрозрач. атака | атака несимметрич. клонирования | атака симметрич. клонирования |
| 2 | 0,22709 | 0,17054 | 0,15637 | 0,14645 | 0,14645 | 0,14645 |
| 3 | 0,35885 | 0,23591 | 0,22671 | 0,21132 | 0,22472 | 0,23974 |
| 4 | 0,44764 | 0,27187 | 0,26656 | 0,25 | 0,26582 | 0,29428 |
| 5 | 0,51245 | 0,2951 | 0,2923 | 0,27639 | 0,29196 | 0,32984 |
| 7 | 0,60191 | 0,324 | 0,32388 | 0,31102 | 0,32377 | 0,37343 |
| 8 | 0,63436 | 0,33376 | 0,33436 | 0,32322 | 0,33429 | 0,38776 |
| 9 | 0,66147 | 0,34168 | 0,34278 | 0,33333 | 0,34273 | 0,39916 |
| 10 | 0,68452 | 0,34826 | 0,34971 | 0,34189 | 0,34968 | 0,40845 |
| 11 | 0,70437 | 0,35385 | 0,35554 | 0,34924 | 0,35539 | 0,41617 |
| 13 | 0,73692 | 0,36285 | 0,36484 | 0,36132 | 0,36451 | 0,42825 |
| 16 | 0,77346 | 0,37281 | 0,37498 | 0,375 | 0,37486 | 0,44099 |

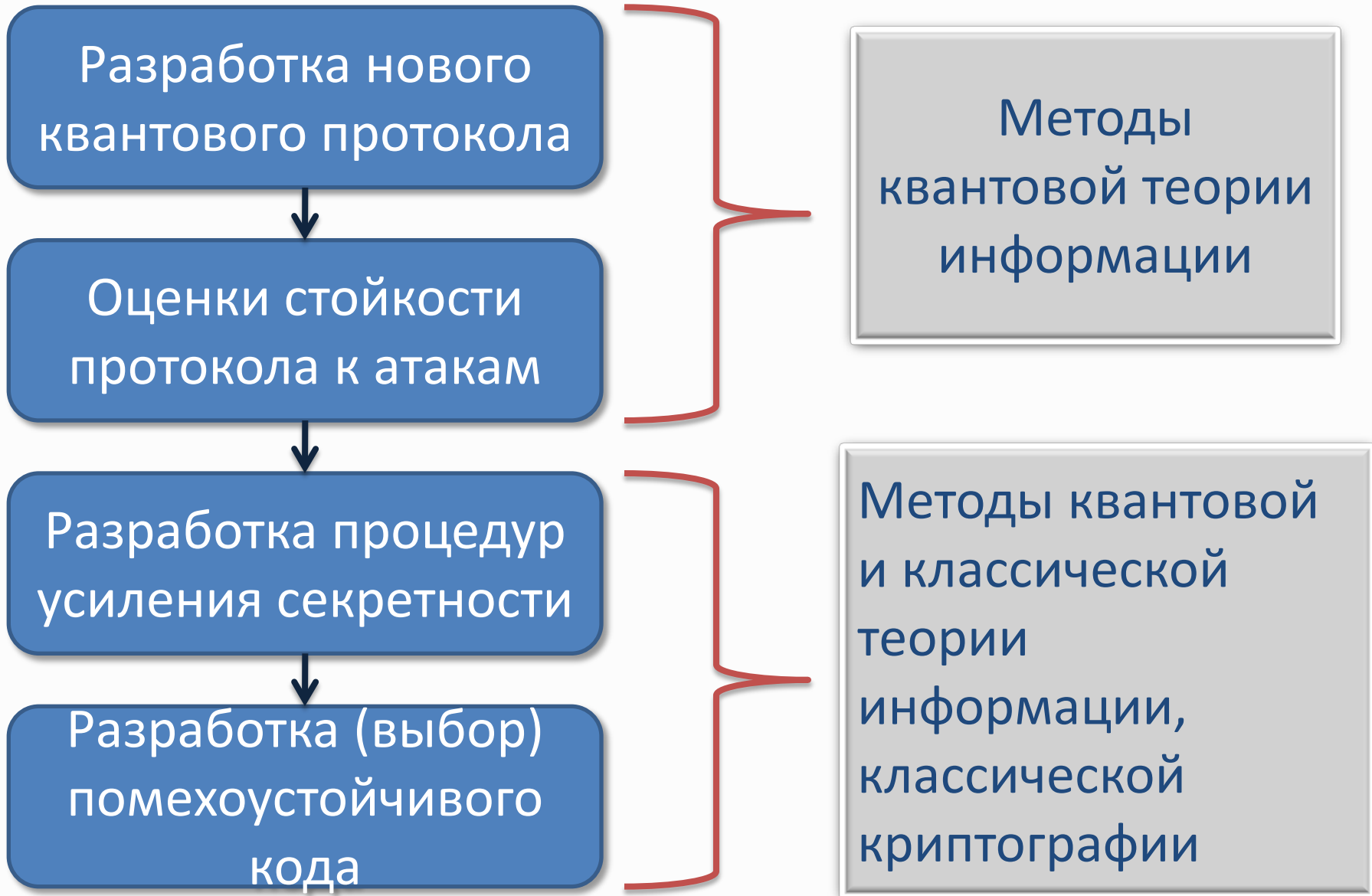
Информационная емкость протоколов с кудитами, бит/кудит

| n | 2 | 3 | 4 | 5 | 7 | 8 | 9 | 11 | 13 | 16 |
|--|-------|-------|------|-------|-------|-------|-------|-------|-------|-------|
| Протоколы "приготовление – измерение", 2 базиса | 0,5 | 0,792 | 1,0 | 1,161 | 1,404 | 1,5 | 1,585 | 1,73 | 1,85 | 2,0 |
| Протоколы "приготовление – измерение", $n+1$ базис | 0,333 | 0,396 | 0,4 | 0,387 | 0,351 | 0,333 | 0,317 | 0,288 | 0,264 | 0,235 |
| Протоколы с перепутанными кудитами | 0,125 | 0,198 | 0,25 | 0,29 | 0,351 | 0,375 | 0,396 | 0,432 | 0,463 | 0,5 |

Наилучшими одновременно по критериям информационной емкости и стойкости к некогерентным атакам (по теореме Цизара – Кёрнера) являются протоколы "приготовление – измерение" с использованием двух базисов.

Этапы синтеза структуры

квантовых систем прямой безопасной связи



Разработка
НОВОГО
протокола

```
graph LR; A[Разработка НОВОГО протокола] --> B[Разработка схемы кодирования информации]; A --> C[Разработка схемы контроля прослушивания канала];
```

Разработка
схемы
кодирования
информации

Разработка
схемы контроля
прослушивания
канала

Принципы квантового кодирования классической информации

- Каждой группе классических битов соответствует отдельное квантовое состояние.
- Разным группам битов соответствуют ортогональные состояния.
- Проективное измерение в соответствующем базисе позволяет точно определять закодированную группу битов.

Кодирование для пинг-понг протокола с перепутанными парами кубитов

Четыре перепутанных состояний пары кубитов:

$$|\varphi^+\rangle = \frac{1}{\sqrt{2}} (|0\rangle_1 |0\rangle_2 + |1\rangle_1 |1\rangle_2)$$

$$|\varphi^-\rangle = \frac{1}{\sqrt{2}} (|0\rangle_1 |0\rangle_2 - |1\rangle_1 |1\rangle_2)$$

$$|\psi^+\rangle = \frac{1}{\sqrt{2}} (|0\rangle_1 |1\rangle_2 + |1\rangle_1 |0\rangle_2)$$

$$|\psi^-\rangle = \frac{1}{\sqrt{2}} (|0\rangle_1 |1\rangle_2 - |1\rangle_1 |0\rangle_2)$$

Кодирующие операции:

$$U_{00} = I$$

$$U_{01} = \sigma_z$$

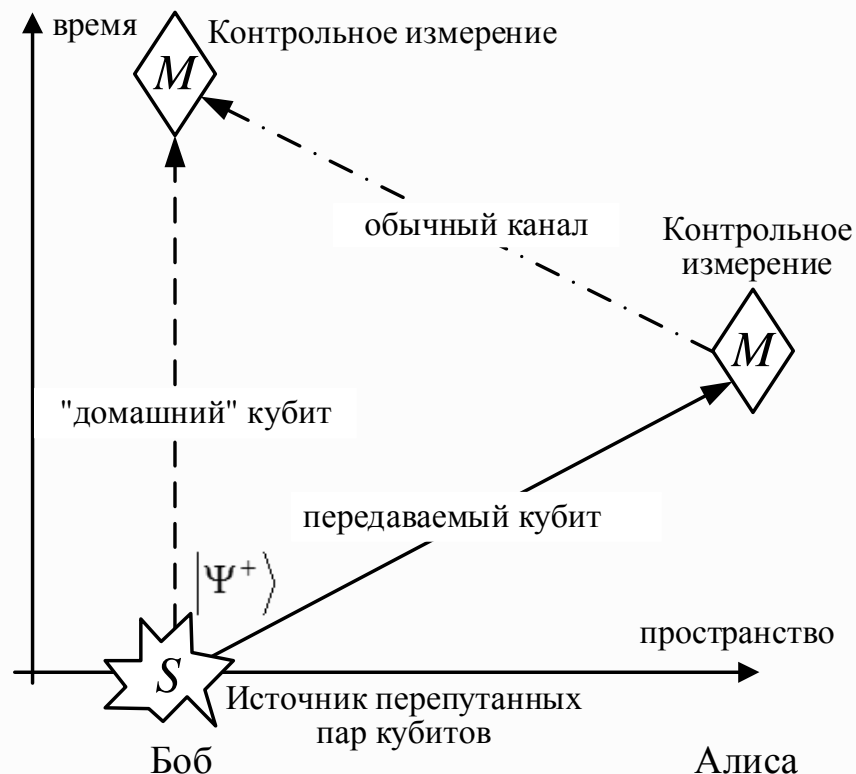
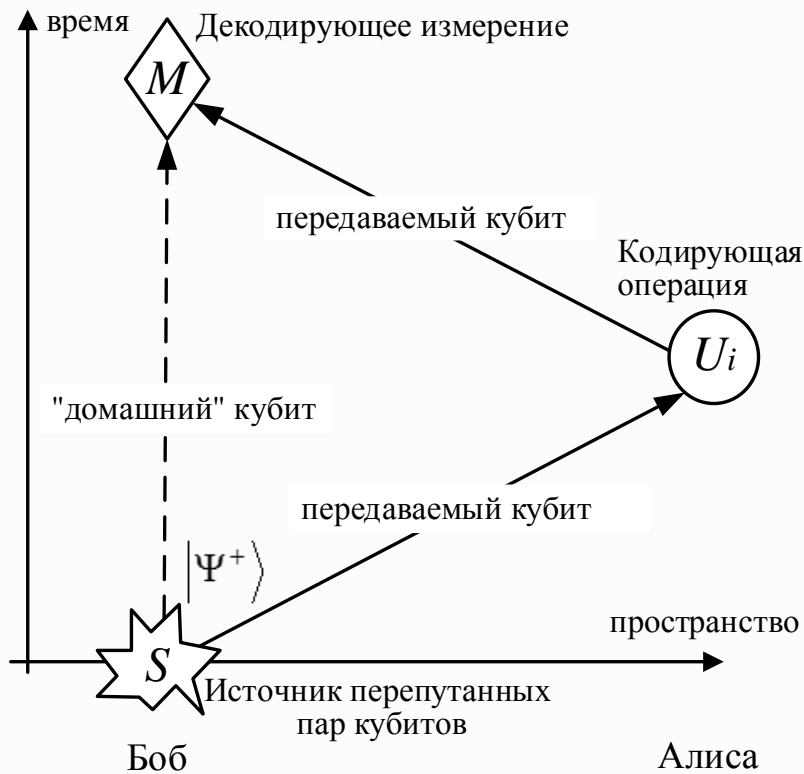
$$U_{10} = \sigma_x$$

$$U_{11} = i\sigma_y$$

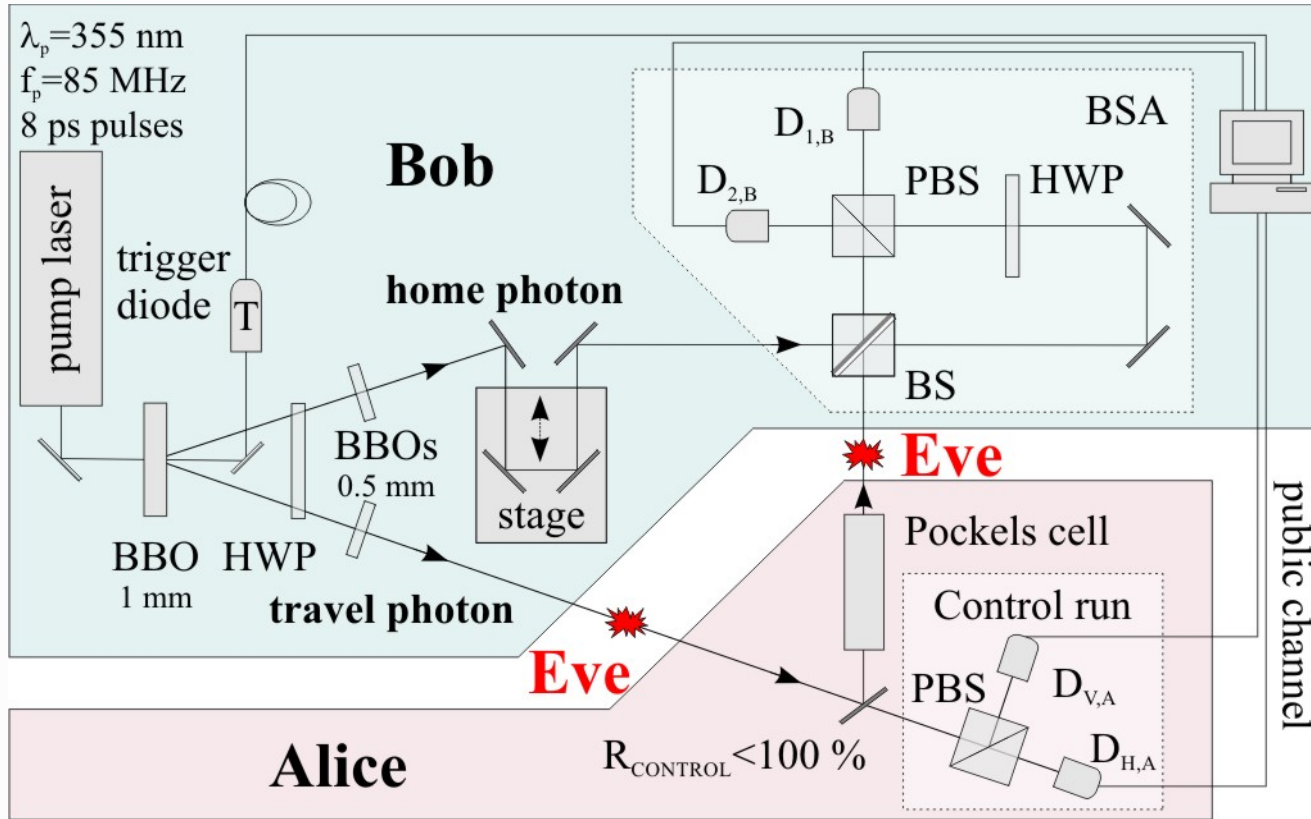
преобразуют состояние $|\psi^+\rangle$ в состояния $|\psi^+\rangle$ $|\psi^-\rangle$ $|\varphi^+\rangle$ $|\varphi^-\rangle$

которые будут соответствовать парам классических битов «00», «01», «10», «11»

Схемы режима передачи сообщения и режима контроля подслушивания в пинг-понг протоколе с парами кубитов



Оптическая схема реализации упрощенного пинг-понг протокола с двумя состояниями $|\psi^+\rangle$ и $|\psi^-\rangle$



BBO – кристалл бората бария; **HWP** – пластина в половину длины волны; **PBS** – поляризационный делитель луча; **BS** – делитель луча; **D** – детекторы фотонов; **BSA** – схема для измерений в базисе Белла; **Pockels cell** – ячейка Покельса

Атака пассивного перехвата

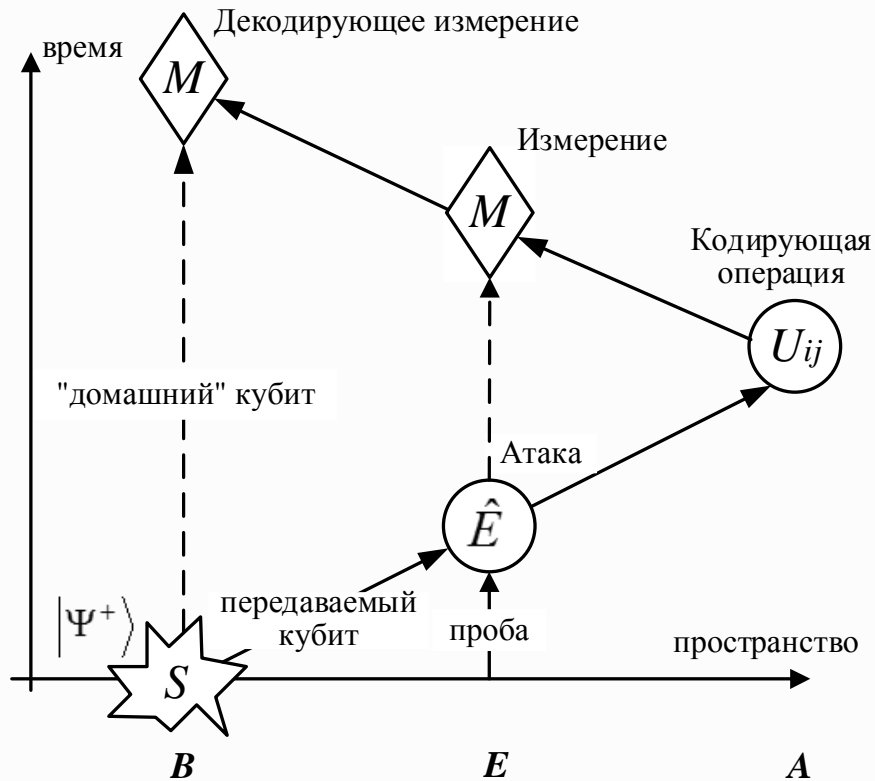
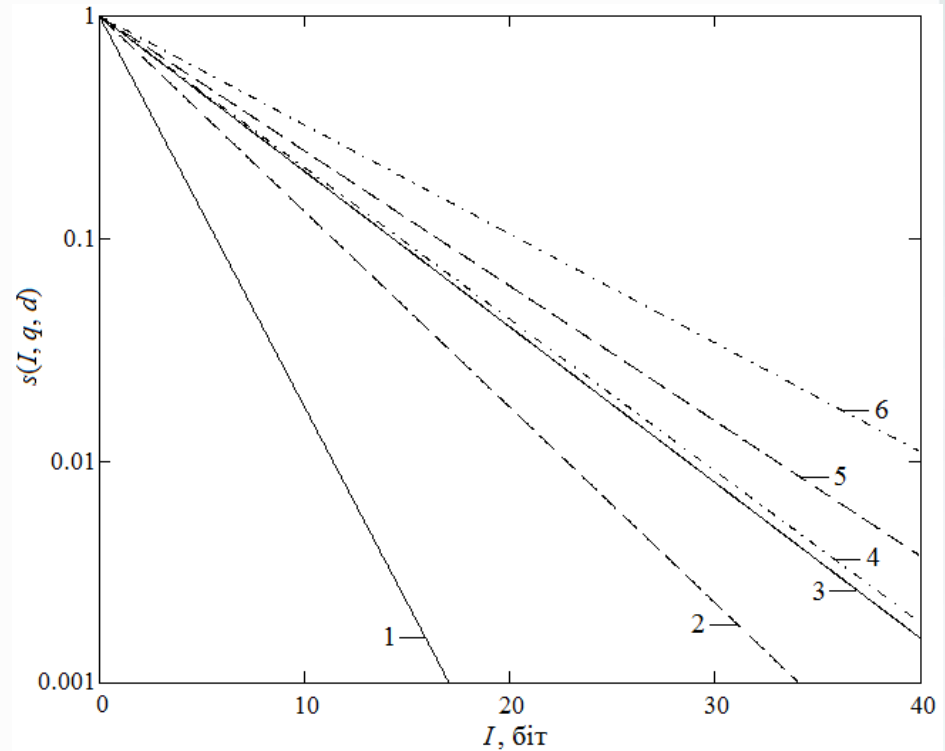


Схема атаки



Полная вероятность **необнаружения** атаки для различных вариантов протокола

Метод усиления секретности

Обратимое хеширование:

$$b_i = M_i a_i$$

a_i – исходный битовый блок сообщения

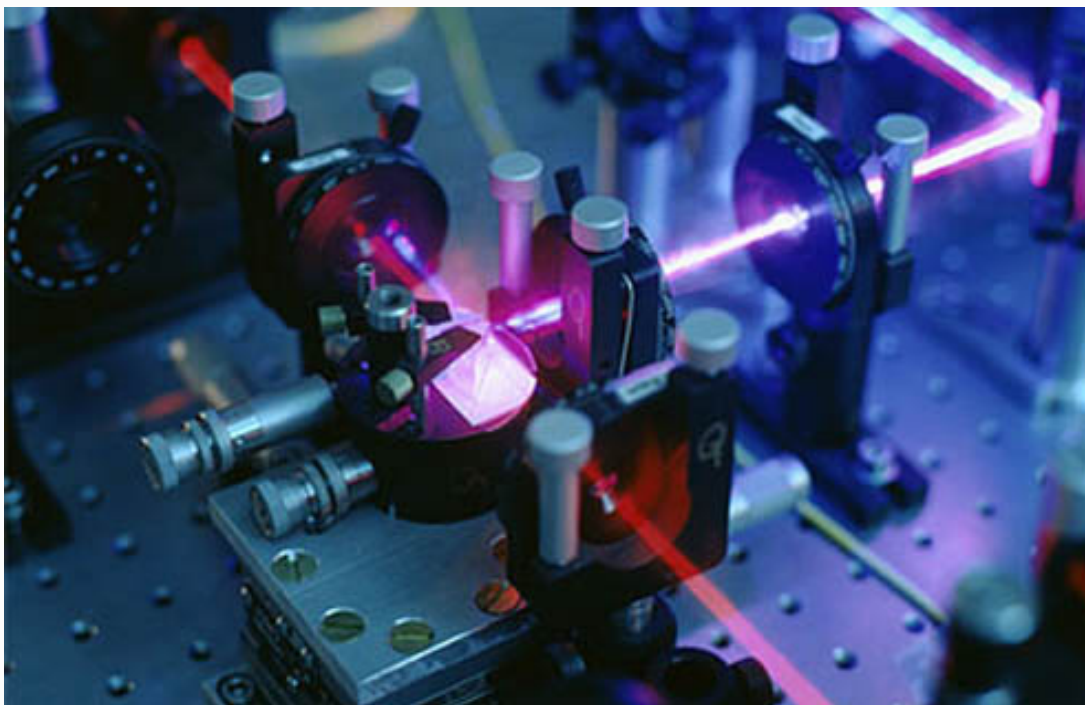
M_i – случайная обратимая двоичная матрица

b_i – хешированный блок, который передается с помощью пинг-понг протокола

Восстановление исходного сообщения:

$$a_i = M_i^{-1} b_i$$

БЛАГОДАРЮ ЗА ВНИМАНИЕ!



www.onat.edu.ua

тел.: +380-48-705-04-93

e-mail: irte@onat.edu.ua